

同步电机基本参数理论 及其测定方法

王 耀 臣

科学出版社

73.25.36

4

同步电机基本参数理论及其测定方法

王耀臣 编著

科学出版社

1965

内 容 簡 介

本书综述了同步电机基本参数的理论，其中着重对横轴同步电抗、超瞬变电抗、瞬变电抗、负序电抗、零序电抗、时间常数、频率参数等进行了较为详尽的阐述；对在电机运行中经常影响参数变化的若干主要因素做了分析并深入讨论了某些参数的物理实质。

书中对同步电机基本参数的理论及其测定方法中的特殊问题进行了理论分析；论证、分析了原有理论计算与试验测定方法的误差及其校正方法，同时也提出了若干参数的新试验测定和理论计算方法，并与已有方法进行了比较。书中所列举的全部方法都做了工业性试验；在理论分析和工业试验对比的基础上，对如何计算与测定同步电机基本参数问题作了讨论。

本书可供从事电力系统、电机运行方面的研究人和工程技术人员以及高等学校电力、电机系的师生参考。

同步电机基本参数理论及其测定方法

王耀臣 编著

*

科学出版社出版

北京朝阳门内大街 117 号

北京市书刊出版业营业登记字第 061 号

上海市印刷五厂印刷

新华书店北京发行所发行 各地新华书店经售

*

1965 年 10 月 第一版

开本：850×1168 1/32

1965 年 10 月第一次印刷

印张：6 1/4

印数：0001—4,900

字数：161,000

统一书号：15031·199

本社书号：3274·15—5

定价：[科六] 0.95 元

序　　言

发展电力工业的重要任务之一是保証电站和电力系統充分可靠地运行。为达到这一目的，必須在設計电力系統、其組成元件以及在建成后的运行中，尽可能采用新技术措施，如：改进电力系統結構、調度方式、采用新式励磁調節器、新的运行方式等等，以使系統运行更加經濟可靠。

在給定的电力系統中能否成功地运用新的运行方式，諸如发电机的异步运行、自同步、非同步自动重合閘等，需要用准确的方法对电机和系統进行大量的計算。为此，除須掌握它們的一般参数外，还必須测定許多同步发电机的另一些参数。为計算在异步方式下运行的同步电机行为，除需要准确掌握电机纵軸参数外（如： x_d , x'_d , x''_d , T'_d , T''_d , T_{fd} , T_{1d} 等），还必須准确地测定出它的橫軸参数。对带有实芯结构的电机來說，还必須知道它的頻率参数。对这些参数测定精确度的要求，大大超过計算短路电流、系統靜态和动态稳定（振蕩第一周）时的要求。

为获得电机参数，已經有过許多試驗測定和理論計算方法，但都不尽完善。因此，改善这些已有方法，即提出測定与校正誤差的方法，以及研究新的、更加精确、簡易的方法是生产和科学硏究工作中急待解决的問題。

本书主要内容是闡述同步电机基本参数的理論，論証、分析試驗測定与理論計算方法的主要問題并提高其精确度，研討新的測定与計算方法。在参数理論部分，着重对其定义与物理意义作了論述。在試驗測定与理論計算方法部分，着重对同步电抗、瞬变电抗、超瞬变电抗、負序电抗、零序电抗、時間常数、頻率参数的理論計算与測定方法作了比較詳尽的分析，并提出和論証了若干参数

的测定与計算的新方法；同时对一些原有的方法作了若干整理工作。此外，还綜述了作为本书理論分析基础的同步电机双反应原理、派克-高烈夫方程式等問題。

本书是作者研究同步电机运行方式問題时整理出来的；由于作者水平所限，难免有不当和錯誤之处，希望讀者指正。

作者

目 录

序言.....	iii
第一章 同步电机理論及其基本参数	1
第一 节 同步电机双反应原理及派克-高烈夫方程式	1
第二 节 同步电机过渡过程等值电路图及其参数.....	10
第三 节 定子漏电抗(x_0).....	19
第四 节 同步电抗(x_d , x_q)	20
第五 节 超瞬变电抗(x_d' , x_q')	22
第六 节 瞬变电抗(x_d'' , x_q'')	24
第七 节 负序电抗(x_2).....	27
第八 节 零序电抗(x_0).....	29
第九 节 轉子自由电流衰减时间常数(T_d).....	32
第十 节 定子电流非周期分量衰减时间常数(T_a).....	38
第十一节 同步电机频率参数[$r(s)$, $x(s)$, $z(s)$].....	39
第二章 同步电抗测定方法	42
第一 节 纵轴同步电抗空載、短路特性测定法	42
第二 节 橫軸同步电抗矢量圖測定法.....	46
第三 节 在无励磁状态測定橫軸同步电抗法.....	48
第四 节 橫軸同步电抗反向励磁測定法.....	49
第五 节 纵、橫軸同步电抗小滑差測定法	51
第六 节 結論.....	66
第三章 定子漏电抗测定方法	68
第一 节 特性曲線測定法.....	68
第二 节 矢量圖測定法.....	73
第三 节 轉子取出靜態測定法.....	73
第四 节 結論.....	76
第四章 超瞬变电抗測定方法	77

第一 节 突然短路測定法.....	77
第二 节 稳定短路切除后电压恢复測定法.....	80
第三 节 电机切除測定法.....	83
第四 节 靜态測定法.....	85
第五 节 三点靜态測定法.....	94
第六 节 德古-吉克靜态測定法	97
第七 节 結論.....	99
 第五章 負序与零序电抗測定方法	100
第一 节 零序电抗外电源測定法	100
第二 节 零序电抗两相接地短路測定法	114
第三 节 零序电抗空載、单相、两相短路測定法	116
第四 节 零序电抗間接測定法	118
第五 节 負序电抗計算測定法	118
第六 节 負序电抗异步制動測定法	119
第七 节 負序电抗两相短路測定法	125
第八 节 負序电抗两相短路測定法	130
第九 节 負序电抗不对称运行測定法	131
第十 节 負序电抗单相、两相短路測定法.....	132
第十一节 負序电抗两相、三相短路測定法.....	132
第十二节 結論	133
 第六章 同步电机時間常数測定方法	134
第一 节 突然短路測定法	134
第二 节 电压恢复測定法	136
第三 节 灭磁測定法	140
第四 节 励磁回路与阻尼回路時間常数灭磁測定法	144
第五 节 由轉子回路漏磁决定的時間常数誤差測算方法	146
第六 节 橫軸時間常数測定法	147
第七 节 結論	149
 第七章 同步电机頻率参数測定方法及其理論計算	150
第一 节 同步电机的頻率参数	150
第二 节 同步电机异步运行及其頻率参数的基本方程式	151
第三 节 同步电机頻率参数測定方法的理論分析	159

第四节 頻率參數分析圖解測定法	161
第五节 同步電機頻率參數簡易測定法	167
第六节 考慮有電壓振動時頻率參數的測定	171
第七节 實芯轉子汽輪發電機頻率參數的理論研究概況	173
第八节 隱極式同步電機轉子電阻頻率特性計算方法的理論 分析	175
第九节 考慮有轉子齒影響的隱極式同步電機轉子電阻頻率 特性計算方法的理論分析	183
第十节 結論	187
主要符號表	188
參考文獻	190

第一章

同步电机理論及其基本参数

第一节 同步电机双反应原理及派克(R. Park)- 高烈夫(A. A. Горев)方程式

1.1 同步电机双反应原理的創始人是布朗德^[1](A. Blondel).最初,这原理是用来研究同步电机稳态运行方式的.在电机学里,通常利用双反应原理繪制凸极式同步发电机和凸极式同步电动机的矢量图.这一原理的基础是将同步电机的磁鏈、磁通、磁动势、电流、电压分解为方向互相垂直的两个分量.在凸极式同步电机里取其轉子纵軸(d)和横軸(q)作为分解矢量的方向.利用双反应原理繪出的电机矢量图叫做布朗德矢量图,見图1.

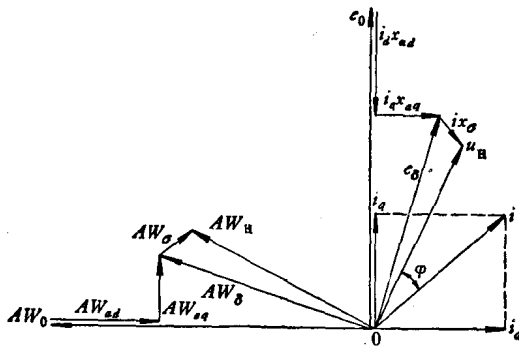


图1 凸极式同步电机布朗德矢量图

派克^[2]曾应用了双反应原理研究和計算同步电机的过渡过程.高烈夫^[3]亦推导出原則上和派克相同的計算同步电机过渡过

程的方程式。后者与前者不同之处仅在于所选择的矢量分解方向，即纵轴与横轴的相互垂直方向的不同而已。

在上述文献中，派克-高烈夫提出了，把同步电机机电过渡过程方程式中的一类变数以另一类变数所代替。这一方法被称为坐标变换法；所运用的坐标系统叫做 $dq0$ 系统。

从数学意义上来看，坐标变换法的实质是，将电机相电流、相电压和磁链的瞬时值以相应引入的计算量的瞬时值所代替。所引入的计算值事实上是原各相电流或其他相应的物理量瞬时值的组合，例如：

$$i_d = \frac{2}{3} [i_a \cos \gamma + i_b \cos(\gamma - 120^\circ) + i_c \cos(\gamma - 240^\circ)];$$

$$i_q = \frac{2}{3} [i_a \sin \gamma + i_b \sin(\gamma - 120^\circ) + i_c \sin(\gamma - 240^\circ)];$$

$$i_0 = \frac{1}{3} [i_a + i_b + i_c].$$

从几何意义来分析这种变换时，它意味着把原有的变数矢量以其在相应的 d, q 轴系统中的投影分量所代替。

概括说来，坐标变换方法的实质是：以探索未知数量的轴向投影分量的变化规律来寻求未知数量的规律。

通过坐标变换可以把电机原机电过渡过程方程式中的周期变系数代之以常系数；如不考虑饱和对电机参数的影响，则可由原具有周期变系数的非线性微分方程式得到具有常系数的线性微分方程式，从而把方程式的解算过程大大地简化了。因此， $dq0$ 坐标变换法，即派克-高烈夫方程式是近代研究同步电机各种运行方式过渡过程的基本方法之一。

1.2 推导派克-高烈夫方程式时取下列各项假定条件：

- 1) 电机未饱和；
- 2) 磁滞现象略而不计；
- 3) 电机定子绕组对称；
- 4) 磁动势沿电机空气隙的空间分布是正弦的；

5) 定子漏电抗与其轉子位置无关。

电机轉子各輔加回路(阻尼繞組或汽輪发电机的实芯轉子)在等值电路图中均以两支模拟回路所代替,即:沿电机纵軸与横軸方向各一支。 $dq0$ 坐标系統中軸的正方向,定子繞組的軸綫,轉子旋轉方向及角度的計算示于图 2。当磁鏈的方向与坐标系統軸的正方向相重合时,磁鏈的数值为正。所有回路里的电流正方向均以右轉螺旋定律为准。电流、电势和相电压的正方向是当它們由相的末端通向始端时为准。

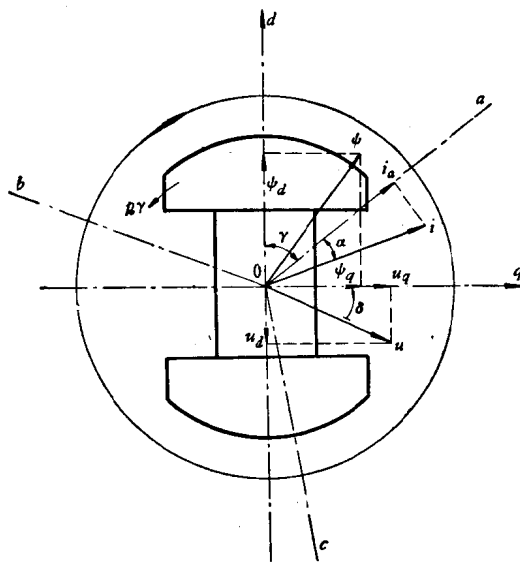


图 2 $dq0$ 坐标系統示意图

当接入电机轉子滑环的励磁机电压 u_f 产生正向励磁电流时, u_f 数值为正。

如果没有特殊注明,则所有角度均以电弧度为单位,其他所有数量单位皆为标么值,并认为轉子回路各数据皆系换算到定子侧。电机名牌数据被取为标么基础值。

由图 2 可見,在 abc 固定坐标系統中定子相电流(i_a, i_b, i_c)与綜合电流的关系是:

$$\left. \begin{array}{l} i_a = i \cos \alpha; \\ i_b = i \cos \left(\alpha - \frac{2}{3} \pi \right); \\ i_c = i \cos \left(\alpha + \frac{2}{3} \pi \right). \end{array} \right\} \quad (1.1)$$

如将综合电流矢量由 abc 固定坐标系统变换到在空间以同步速度旋转的 $dq0$ 坐标系统时, 可得出:

$$\begin{aligned} & i_a \cos \gamma + i_b \cos \left(\gamma - \frac{2}{3} \pi \right) + i_c \cos \left(\gamma + \frac{2}{3} \pi \right) \\ &= i \left[\cos \alpha \cos \gamma + \cos \left(\alpha - \frac{2}{3} \pi \right) \cos \left(\gamma - \frac{2}{3} \pi \right) \right. \\ & \quad \left. + \cos \left(\alpha + \frac{2}{3} \pi \right) \cos \left(\gamma + \frac{2}{3} \pi \right) \right] \\ &= \frac{3}{2} i \cos (\alpha - \gamma) = \frac{3}{2} i_d; \end{aligned} \quad (1.2)$$

则电流 i 的纵轴分量为:

$$i_d = \frac{2}{3} \left[i_a \cos \gamma + i_b \cos \left(\gamma - \frac{2}{3} \pi \right) + i_c \cos \left(\gamma + \frac{2}{3} \pi \right) \right]. \quad (1.3)$$

以相同步骤可得出其横轴分量, 即:

$$i_q = \frac{2}{3} \left[i_a \sin \gamma + i_b \sin \left(\gamma - \frac{2}{3} \pi \right) + i_c \sin \left(\gamma + \frac{2}{3} \pi \right) \right]. \quad (1.4)$$

如发电机中心点接地, 其零序电流为:

$$i_0 = \frac{1}{3} (i_a + i_b + i_c). \quad (1.5)$$

和相电流相类似, 可写出相应的电压、磁链的变换表示式.

由 $dq0$ 坐标系统向 abc 坐标反变换时, 可通过解算上列方程式(1.3), (1.4), (1.5)求得 i_a , i_b , i_c 或其他相关数据, 例如:

$$\begin{aligned} & i_a + i_b \cos \gamma + i_c \sin \gamma = \frac{1}{3} i_d (1 + 2 \cos^2 \gamma + 2 \sin^2 \gamma) \\ & + \frac{1}{3} i_b \left[1 + 2 \cos \gamma \cos \left(\gamma - \frac{2}{3} \pi \right) + 2 \sin \gamma \sin \left(\gamma - \frac{2}{3} \pi \right) \right] \\ & + \frac{1}{3} i_c \left[1 + 2 \cos \gamma \cos \left(\gamma + \frac{2}{3} \pi \right) + 2 \sin \gamma \sin \left(\gamma + \frac{2}{3} \pi \right) \right]. \end{aligned}$$

由于

$$\frac{1}{3}(1+2\cos^2\gamma+2\sin^2\gamma)=1;$$

$$\frac{1}{3}\left[1+2\cos\gamma\cos\left(\gamma-\frac{2}{3}\pi\right)+2\sin\gamma\sin\left(\gamma-\frac{2}{3}\pi\right)\right]=0;$$

$$\frac{1}{3}\left[1+2\cos\gamma\cos\left(\gamma+\frac{2}{3}\pi\right)+2\sin\gamma\sin\left(\gamma+\frac{2}{3}\pi\right)\right]=0;$$

則

$$i_a = i_0 + i_d \cos \gamma + i_q \sin \gamma. \quad (1.6)$$

与 A 相电流相类似可得 b, c 相电流如下：

$$i_b = i_0 + i_d \cos\left(\gamma - \frac{2}{3}\pi\right) + i_q \sin\left(\gamma - \frac{2}{3}\pi\right); \quad (1.7)$$

$$i_c = i_0 + i_d \cos\left(\gamma + \frac{2}{3}\pi\right) + i_q \sin\left(\gamma + \frac{2}{3}\pi\right). \quad (1.8)$$

以相同步驟可得出电压、磁鏈方程式。由此例可見坐标变换法的互換性了。

如定子繞組的电流为 i , 則其出口端电压的平衡方程式是：

$$-\frac{d\psi}{dt} = u + ir; \quad (1.9)$$

則定子 A 相的电压平衡方程式为：

$$u_a = -\frac{d\psi_a}{dt} - i_a r. \quad (1.10)$$

将 $dq0$ 坐标系統的电流, 电压及磁鏈方程式代入式(1.10)：

$$u_0 + u_d \cos \gamma + u_q \sin \gamma + i_0 r + ri_d \cos \gamma + ri_q \sin \gamma.$$

$$+ \frac{d(\psi_0 + \psi_d \cos \gamma + \psi_q \sin \gamma)}{dt} = 0.$$

令 $p = \frac{d}{dt}$; p 是算子, 則

$$u_0 + p\psi_0 + ri_0 + (u_d + p\psi_d + p\gamma\psi_q + ri_d) \cos \gamma \\ + (u_q + p\psi_q - p\gamma\psi_d + ri_q) \sin \gamma = 0. \quad (1.11)$$

方程式(1.11)可用下列形式写出：

$$A + B \cos \gamma + C \sin \gamma = 0. \quad (1.12)$$

方程式(1.12)成立的必要条件是：

$$A = B = C = 0;$$

則 $dq0$ 坐標系統的定子電壓方程式為：

$$\left. \begin{array}{l} u_0 = -p\psi_0 - ri_0; \\ u_d = -p\psi_d - \psi_d p\gamma - ri_d; \\ u_q = -p\psi_q + \psi_d p\gamma - ri_q. \end{array} \right\} \quad (1.13)$$

方程式組(1.13)被稱之為派克-高烈夫方程式¹⁾.

在式(1.13)中， $p\psi_d$ 和 $p\psi_q$ 稱為交變電勢； $\psi_d p\gamma$, $\psi_q p\gamma$ 稱為旋轉電勢。

為計算同步電機機電與電磁過渡過程，除定子電壓方程式外，尚須具備轉子勵磁回路和阻尼回路的方程式，它們是：

$$\left. \begin{array}{l} p\psi_f + r_f i_f = u_f; \\ p\psi_{1d} + r_{1d} i_{1d} = 0; \\ p\psi_{1q} + r_{1q} i_{1q} = 0. \end{array} \right\}$$

令發電機中心點不接地 ($i_0 = 0$)，轉速恒定 ($p\gamma = 1$)，則計算同步電機過渡過程的全派克-高烈夫方程式為：

$$\left. \begin{array}{l} -p\psi_d - \psi_d - ri_d = u_d; \\ -p\psi_q + \psi_d - ri_q = u_q; \\ p\psi_f + r_f i_f = u_f; \\ p\psi_{1d} + r_{1d} i_{1d} = 0; \\ p\psi_{1q} + r_{1q} i_{1q} = 0. \end{array} \right\} \quad (1.14)$$

用電流和電抗表示磁鏈時，則

$$\left. \begin{array}{l} \psi_d = x_d i_d + x_{0d} i_f + x_{a1d} i_{1d}; \\ \psi_q = x_q i_q + x_{a1q} i_{1q}; \\ \psi_f = x_{af} i_d + x_{ff} i_f + x_{f1d} i_{1d}; \\ \psi_{1d} = x_{a1d} i_d + x_{f1d} i_f + x_{11d} i_{1d}; \\ \psi_{1q} = x_{a1q} i_q + x_{11q} i_{1q}. \end{array} \right\} \quad (1.15)$$

¹⁾ 派克推導的方程式中 (+) (-) 符號排列與式(1.13)有所不同；這是由於派克在 $dq0$ 坐標系統中，採用了橫(q)軸超前縱(d)軸的結果。

将式(1.15)代入式(1.14)后,可得出:

$$\left. \begin{aligned} & -(r+px_d)i_d - p(x_{afd}i_f + x_{a1d}i_{1d}) - x_qi_q - x_{a1q}i_{1q} = u_d; \\ & -(r+px_q)i_q - px_{a1q}i_{1q} + x_di_d + x_{afd}i_f + x_{a1d}i_{1d} = u_q; \\ & (r_f + px_{ffd})i_f + p(x_{afd}i_d + x_{f1d}i_{1d}) = u_f; \\ & (r_{1d} + px_{11d})i_{1d} + p(x_{a1d}i_d + x_{f1d}i_f) = 0; \\ & (r_{1q} + px_{11q})i_{1q} + px_{a1q}i_q = 0. \end{aligned} \right\} \quad (1.16)$$

方程式(1.16)是一組常系数綫性微分方程式。

通常解这一組方程式时,均略掉定子电阻 r ;如拟計其影响,須将解算后和定子电流有关的各项內引入乘数 e^{-t/T_a} 即可 (T_a 的定义見本章第十节). 在以下各章节內,皆采用了上述原則进行分析的。

为便利引用起見,特将該組方程式的解算过程簡述如下:

以电流纵軸分量为未知数解方程式(1.16),可得出下列运算方程式:

$$i_d(p) = \frac{u_q(p) - px_d(p)}{(1+p^2)x_d(p)} - \frac{G(p)}{x_d(p)} u_f(p); \quad (1.17)$$

$x_d(p)$ 通常称之为纵軸运算阻抗,

$$x_d(p) = x_d - \frac{p^2(x_{afd}^2x_{11d} - 2x_{afd}x_{a1d}x_{f1d} + x_{a1d}^2x_{ffd}) + p(x_{a1d}^2r_f + x_{afd}^2r_{1d})}{p^2(x_{ffd}x_{11d} - x_{f1d}^2) + p(x_{11d}r_f + x_{ffd}r_{1d}) + r_f r_{1d}}. \quad (1.18)$$

$G(p)$ 是电导的运算式或叫做运算电导,

$$G(p) = \frac{x_{afd}r_{1d} + p(x_{afd}x_{11d} - x_{a1d}x_{f1d})}{p^2(x_{ffd}x_{11d} - x_{f1d}^2) + p(x_{11d}r_f + x_{ffd}r_{1d}) + r_f r_{1d}}. \quad (1.19)$$

若将式(1.18)和(1.19)中的电抗代之以时间常数,則可改写为:

$$\begin{aligned} x_d(p) &= x_d \frac{p^2 \sigma_{f1d} T_f T_{1d} + p(T_f + T_{1d}) + 1}{p^2 \sigma_{f1d} T_f T_{1d0} + p(T_{f0} + T_{1d0}) + 1} \\ &= x_d \frac{(1+pT'_d)(1+pT''_d)}{(1+pT'_{d0})(1+pT''_{d0})}; \end{aligned} \quad (1.20)$$

$$G(p) = \frac{x_{afd}r_{1d} + p(x_{afd}x_{11d} - x_{a1d}x_{f1d})}{r_f r_{1d} (1+pT'_{d0}) (1+pT''_{d0})}. \quad (1.21)$$

将式(1.20), (1.21)代入式(1.17)后, 可得出电流纵轴分量的运算式为:

$$\begin{aligned} i_d(p) = & \frac{[u_q(p) - pu_d(p)] (1+pT'_{d0}) (1+pT''_{d0})}{x_d (1+p^2) (1+pT'_d) (1+pT''_d)} \\ & - \frac{[x_{afd}r_{1d} + p(x_{afd}x_{11d} - x_{a1d}x_{f1d})] u_f(p)}{x_a r_f r_{1d} (1+pT'_d) (1+pT''_d)}. \end{aligned} \quad (1.22)$$

以完全相同步骤, 可得出定子电流横轴分量的运算式.

$$i_q(p) = -\frac{[pu_q(p) + u_d(p)] (1+pT''_{q0})}{x_q (1+p^2) (1+pT''_q)}. \quad (1.23)$$

1.3 在 1.2 中推导出的派克-高烈夫方程式,由于假定条件的限制, 只能考虑因电机纵横轴磁阻的不同而产生的时间谐波, 而对在非对称运行方式下产生的电机磁场高次空间谐波影响, 并未考虑在内.

为便于计算非对称运行方式下电机的过渡过程, 在文献 [4—6] 中对派克-高烈夫方程式曾做过一些补充, 简要介绍如下.

如前所述, 在派克-高烈夫(即 $dq0$)坐标变换系统中, 电流纵横轴分量的表示式是:

$$\left. \begin{aligned} i_d &= \frac{2}{3} \left[i_a \cos \gamma_a + i_b \cos \left(\gamma_a - \frac{2}{3}\pi \right) + i_c \cos \left(\gamma_a + \frac{2}{3}\pi \right) \right]; \\ i_q &= \frac{2}{3} \left[i_a \sin \gamma_a + i_b \sin \left(\gamma_a - \frac{2}{3}\pi \right) + i_c \sin \left(\gamma_a + \frac{2}{3}\pi \right) \right]; \\ i_0 &= \frac{1}{3} (i_a + i_b + i_c) \end{aligned} \right\} \quad (1.24)$$

或

$$i_d = \frac{2}{3} (i_a \cos \gamma_a + i_b \cos \gamma_b + i_c \cos \gamma_c);$$

$$i_q = \frac{2}{3} (i_a \sin \gamma_a + i_b \sin \gamma_b + i_c \sin \gamma_c).$$

在非对称稳定短路运行方式下, i_d , i_q 将由定值分量和以不同

頻率脉动的变值分量所組成。为便于分辨起見，将前者以 A_d , A_q 表示，后者以 Δa_d , Δa_q 表示，则

$$i_d = A_d + \Delta a_d;$$

$$i_q = A_q + \Delta a_q.$$

由定、轉子电流决定的纵横軸磁鏈，在非对称短路下并非是电机的全部磁鏈。当考虑到由定子电流脉动分量在励磁繞組和阻尼繞組內感应的电流所产生的互感磁通时，则电机的全部磁鏈为：

$$\left. \begin{aligned} \psi_{dn} &= i_d x_d + x_{afd} i_f + x_{a1d} i_{1d} + x_{afq} \Delta i_f + x_{a1q} \Delta i_{1d} \\ &= \psi_{fm} + i_d x_d + x_{afd} \Delta i_f + x_{a1d} (\Delta i_{1d} + i_{1d}); \\ \psi_{qn} &= i_q x_q + x_{a1q} i_{1q} + x_{afq} \Delta i_{1q}, \end{aligned} \right\} \quad (1.25)$$

这里， $x_{afd} \Delta i_f$ 是表示定子电流脉动分量所决定的励磁繞組互感磁通；而 $x_{a1d} \Delta i_{1d}$ 为阻尼繞組互感磁通。

若电机轉子內无阻尼繞組时，

$$\psi_{dn} = \psi_{fm} + A_d x_d + \Delta a_d x_d + x_{afd} \Delta i_f. \quad (1.26)$$

如将励磁繞組电阻 r_f 略而不計，则由励磁繞組的感应电流所决定的电压平衡方程式为：

$$x_{ffd} \frac{d \Delta i_f}{dt} + x_{afd} \frac{d \Delta a_d}{dt} = 0;$$

从而

$$\Delta i_f = - \frac{x_{afd}}{x_{ffd}} \Delta a_d. \quad (1.27)$$

将式(1.27)代入式(1.26)得：

$$\begin{aligned} \psi_{dn} &= \psi_{fm} + A_d x_d + \Delta a_d \left(x_d - \frac{x_{afd}^2}{x_{ffd}} \right) \\ &= \psi_{fm} + A_d x_d + \Delta a_d x'_d. \end{aligned} \quad (1.28)$$

以相同步驟可得出具有阻尼繞組的电机全磁鏈方程式如下：

$$\left. \begin{aligned} \psi_{dn} &= \psi_{fm} + A_d x_d + \Delta a_d x''_d; \\ \psi_{qn} &= A_q x_q + \Delta a_q x''_q, \end{aligned} \right\} \quad (1.29)$$

则定子各相磁鏈方程式为：